

Gentile lettore,

il presente file contiene un estratto del testo "Tecniche istochimiche ed ultrastrutturali". Confidando possa essere di suo interesse, non esiti a contattarci per ottenere ulteriori informazioni in merito a questo volume o alla sua distribuzione.

Bari, 01/09/2010

Editore Waveng srl
www.waveng.it

Dettagli del Libro

Autori: Liquori G. E., Mastrodonato M., Ferri D.

Editore: Waveng srl

Genere: scienze della vita

Argomento: istologia, citologia, biologia, atlanti

Pagine: 80

ISBN: 8890378212

ISBN-13: 9788890378218

Data pubbl.: 2010

www.waveng.it info@waveng.it

fax: +39 080 2209254

N. REA BA - 508238

P.I./C.F. 06766640723

Italy

8 70123, Bari

WAVENG s.r.l.

Via Niccolò Pizzoli n. 8

G. E. LIQUORI

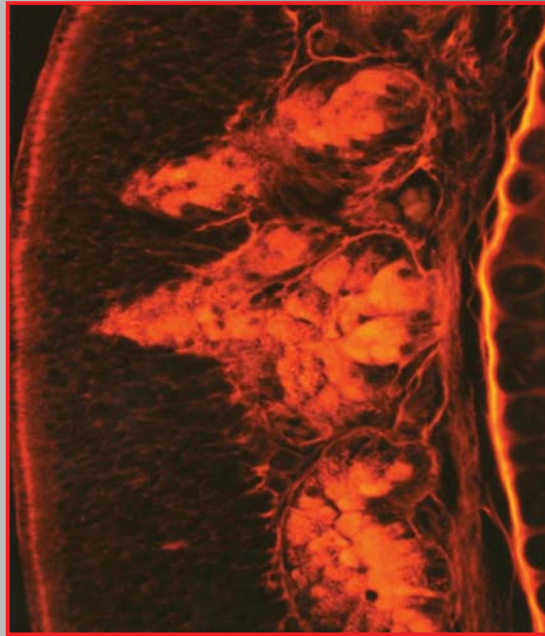
D. FERRI

M. MASTRODONATO

TECNICHE ISTOCHIMICHE ED ULTRASTRUTTURALI

SCHEDE

Prima edizione



WUJENC

TECNICHE ISTOCHIMICHE ED ULTRASTRUTTURALI

Liquori - Mastrodonato - Ferri

WUJENC

€ 35,00



G. E. LIQUORI

D. FERRI

M. MASTRODONATO

TECNICHE ISTOCHIMICHE ED ULTRASTRUTTURALI

SCHEDE

Prima edizione

GIUSEPPA E. LIQUORI
Professore associato
di Citologia ed Istologia,
Dipartimento di Biologia
Animale ed Ambientale,
Università di Bari “Aldo Moro”

MARIA MASTRODONATO
Ricercatore confermato
di Citologia ed Istologia,
Dipartimento di Biologia
Animale ed Ambientale,
Università di Bari “Aldo Moro”

DOMENICO FERRI
Professore ordinario
di Citologia ed Istologia,
Dipartimento di Biologia
Animale ed Ambientale,
Università di Bari “Aldo Moro”

I diritti di riproduzione, di memorizzazione e di adattamento totale o parziale con qualsiasi mezzo (compresi i microfilm e le copie fotostatiche) sono riservati per tutti i paesi. Ogni violazione sarà perseguita a norma di legge.

© 2010 WAVENG srl – Via Niccolò Pizzoli, n. 8, 70123 – Bari, Italia

Coordinatore della realizzazione: Domenico Ferri

Finito di stampare nel mese di maggio 2010 presso SEDIT srl Servizi Editoriali – Bari, Italia



WAVENG srl
Via Niccolò Pizzoli, n. 8
70123 – Bari, Italia
P.IVA: 06766640723
www.waveng.it
info@waveng.it

PRESENTAZIONE

Questo testo, conciso ed essenziale, è stato realizzato per rispondere alle esigenze delle nuove lauree magistrali della classe di Biologia.

Non si è voluto fare un classico manuale di tecniche istologiche, istochimiche ed ultrastrutturali, ma si è dato ampio spazio alle immagini di microscopia ottica ed elettronica, riferibili a sezioni di organi normali e patologici. Questo testo è ad integrazione dei testi classici e degli atlanti di Citologia ed Istologia e può essere utile per le esercitazioni pratiche di microscopia e per l'attività in un laboratorio di Istologia.

Bari, 12 aprile 2010

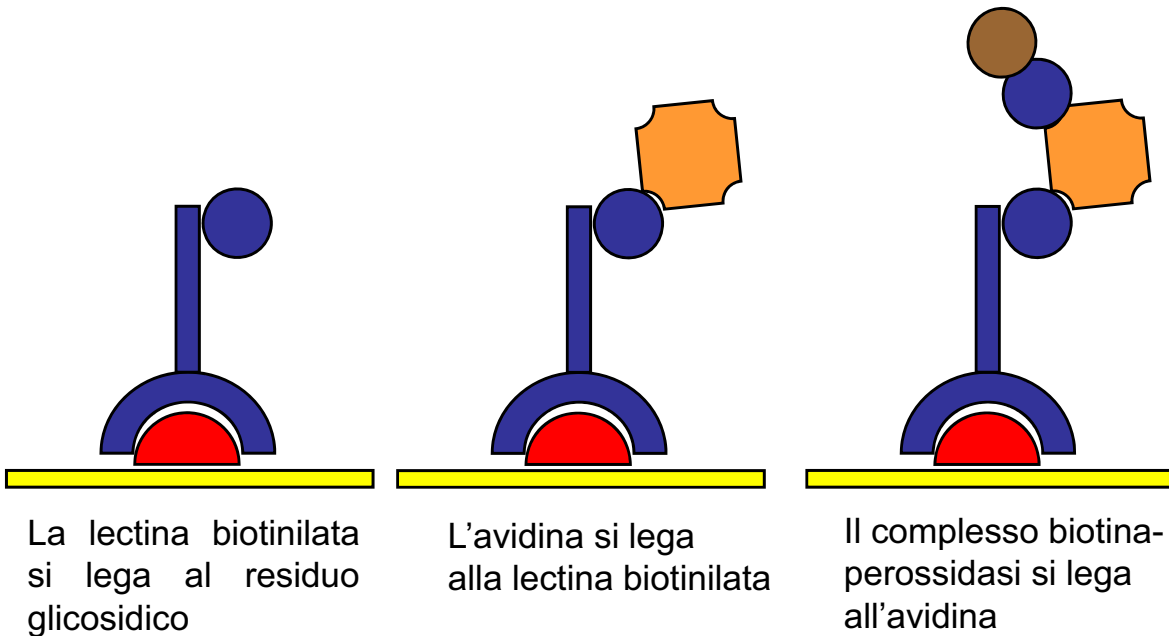
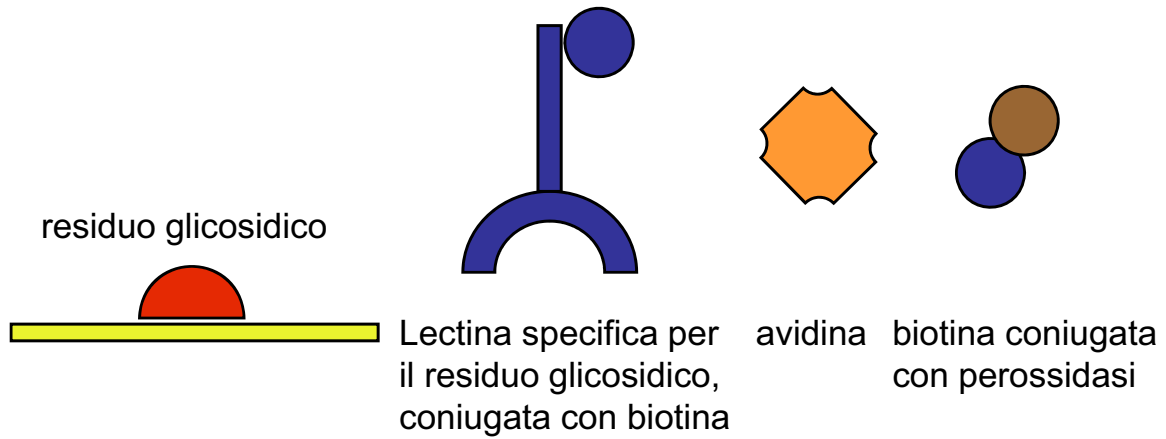
GLI AUTORI

INDICE

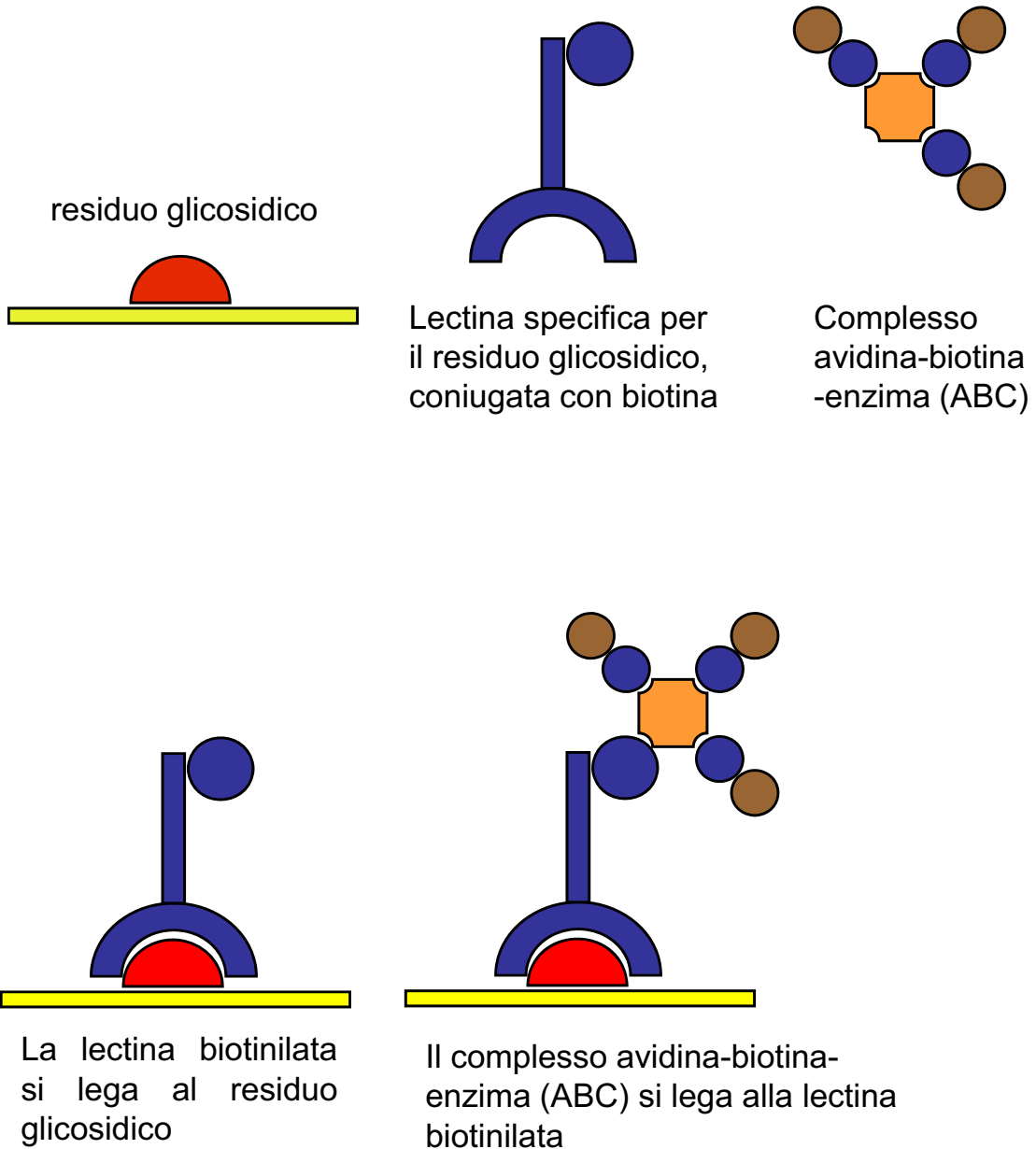
| | |
|--------------------------------|----|
| TECNICHE ISTOLOGICHE..... | 1 |
| GLICOISTOCHIMICA..... | 9 |
| ISTOCHIMICA DELLE LECTINE..... | 19 |
| TECNICHE ULTRASTRUTTURALI..... | 33 |
| IMMUNOISTOCHIMICA..... | 41 |
| MICROSCOPI..... | 69 |

Salvo diversa indicazione, le immagini di microscopia ottica si riferiscono a sezioni ottenute da campioni di organi inclusi in paraffina.

ISTOCHEMICA DELLE LECTINE METODO INDIRETTO BIOTINA-AVIDINA



ISTOCHIMICA DELLE LECTINE METODO INDIRECTO ABC

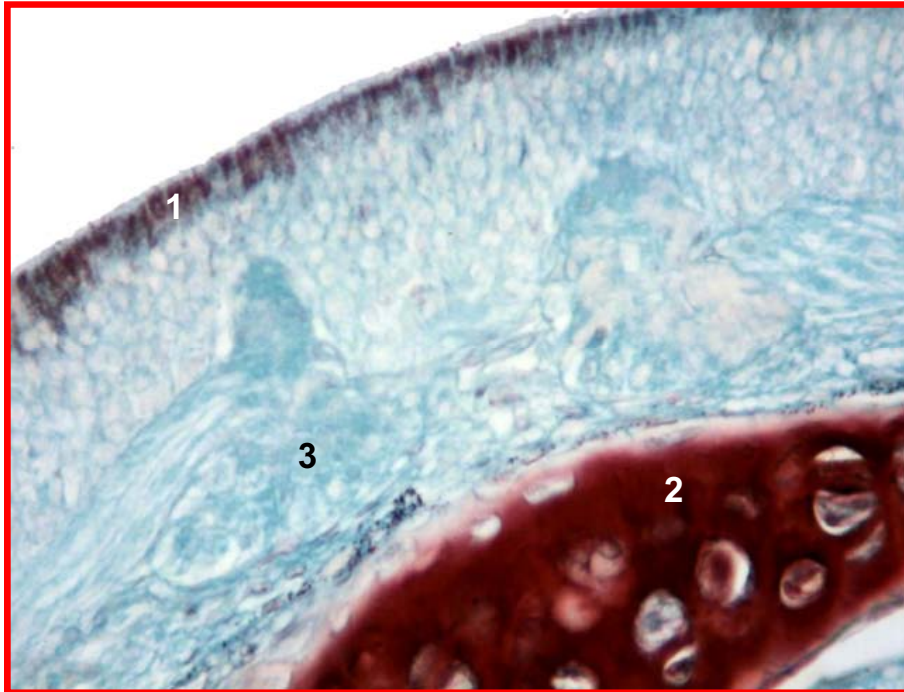


LECTINE

Glicoconjugati solfati, positivi alla HID nelle cellule epiteliali mucosecarnenti (1) e nella cartilagine (2). 3, Ghiandole di Bowman

Mucosa olfattoria di lucertola

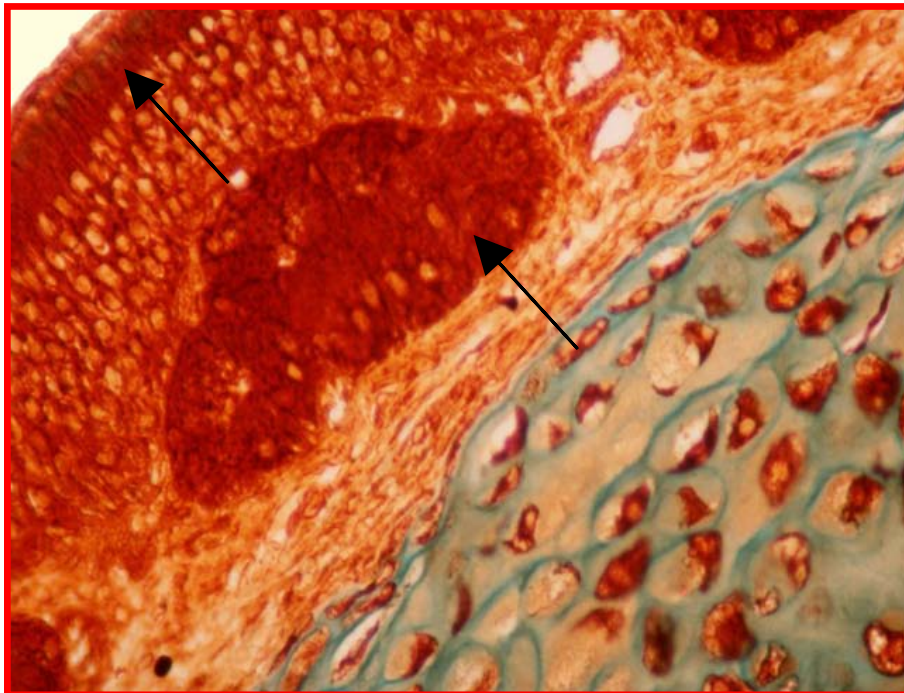
HID - Alcian blu a pH 2.5
400X



Positività alla Con A (frecche) delle glicoproteine del secreto

Mucosa olfattoria, ghiandole di Bowman, cartilagine di lucertola

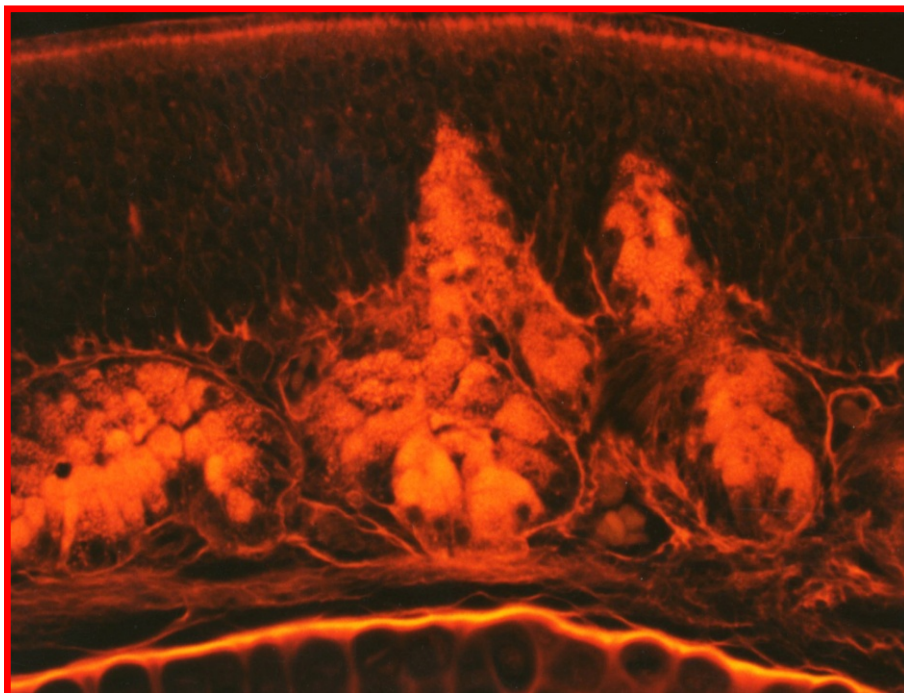
Con A perossidasi- Alcian blu a pH 2.5
400X



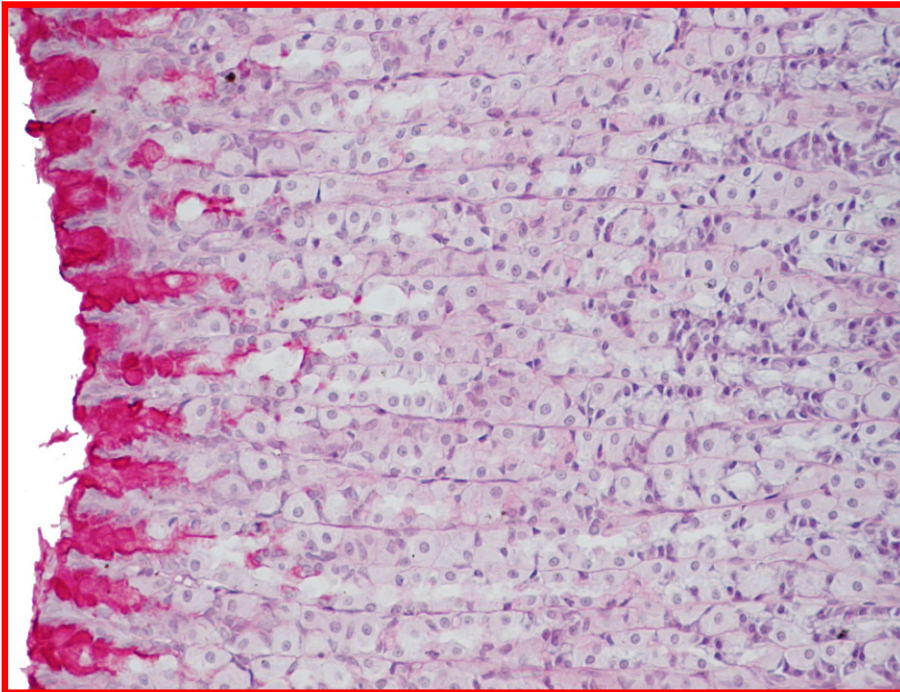
Positività alla Con A (fluorescenza) delle glicoproteine del secreto

Mucosa olfattoria, ghiandole di Bowman, cartilagine di lucertola

Con A-TRITC
400X



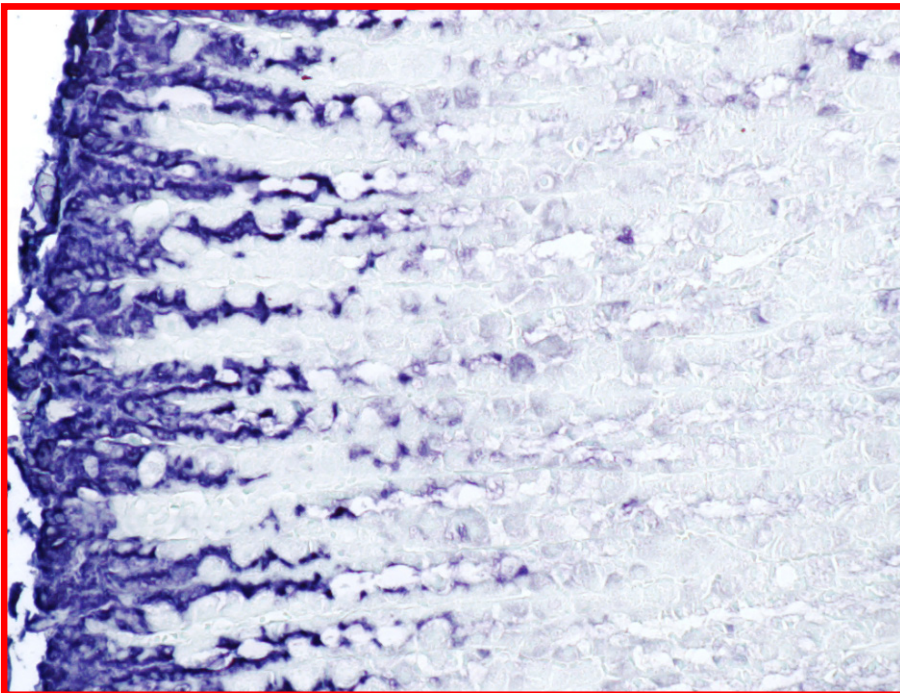
LECTINE



Glicoproteine PAS
positive nelle cellule
mucosecarnenti
della mucosa
gastrica

Mucosa gastrica di
ratto

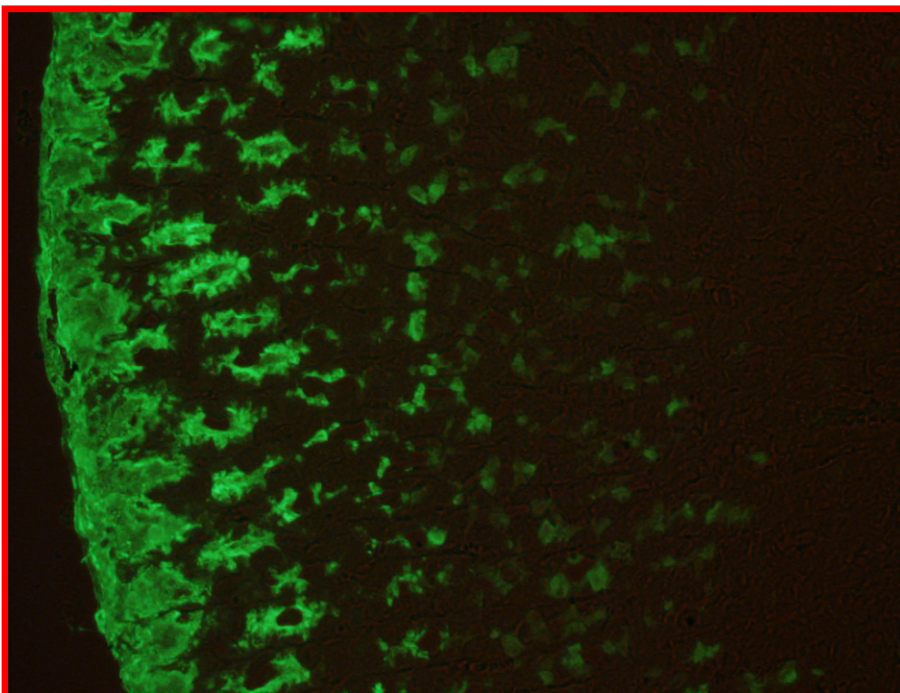
PAS-Emallum
200X



Glicoproteine positive
all'AAA nelle cellule
mucosecarnenti della
mucosa gastrica

Mucosa gastrica di ratto

AAA-fosfatasi
200X



Glicoproteine positive
alla UEA nelle cellule
mucosecarnenti della
mucosa gastrica

Mucosa gastrica di
ratto

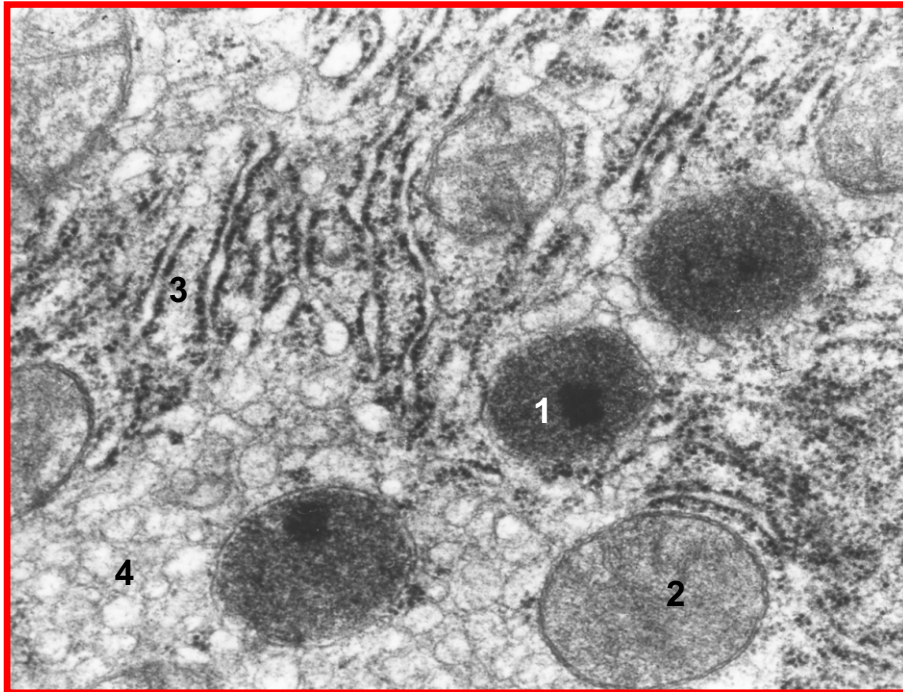
UEA-FITC
200X

**TECNICHE
ULTRASTRUTTURALI**

Particolare di citoplasma di epatocita con perossisomi (1), mitocondri (2), reticolo endoplasmatico rugoso (3) e liscio (4)

Fegato di ratto

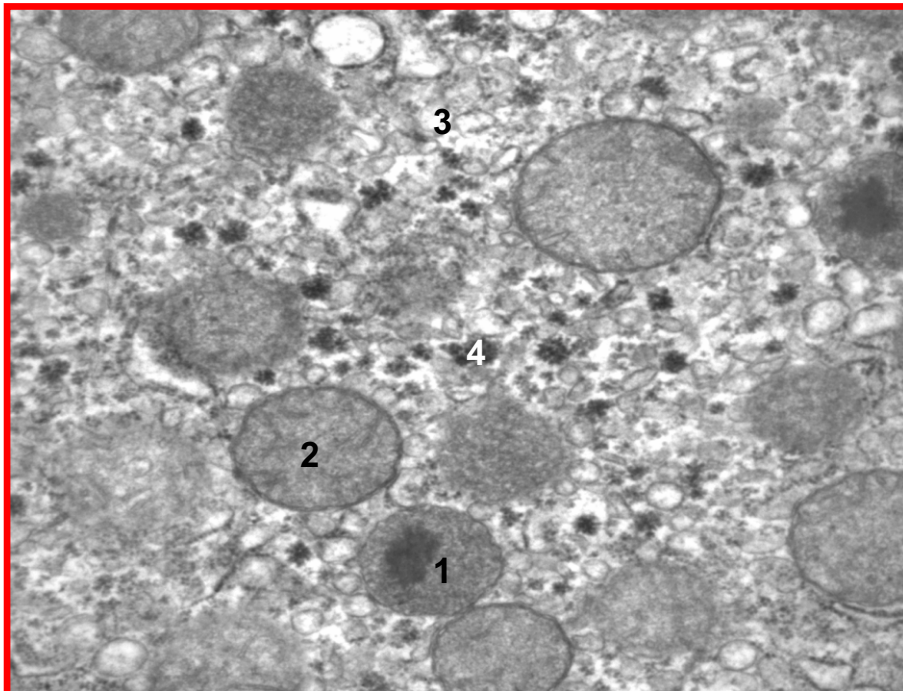
Acetato di uranile-citrato di piombo
30.000 X



Particolare di citoplasma di epatocita con perossisomi (1), mitocondri (2), reticolo endoplasmatico liscio (3) e rosette di glicogeno (4)

Fegato di ratto

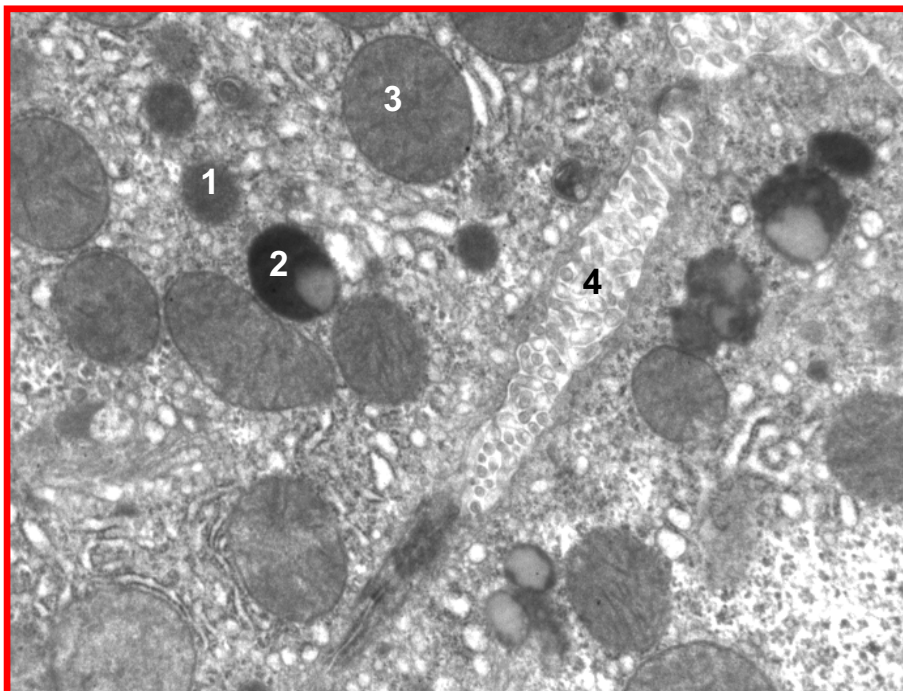
Acetato di uranile-citrato di piombo
22.000 X

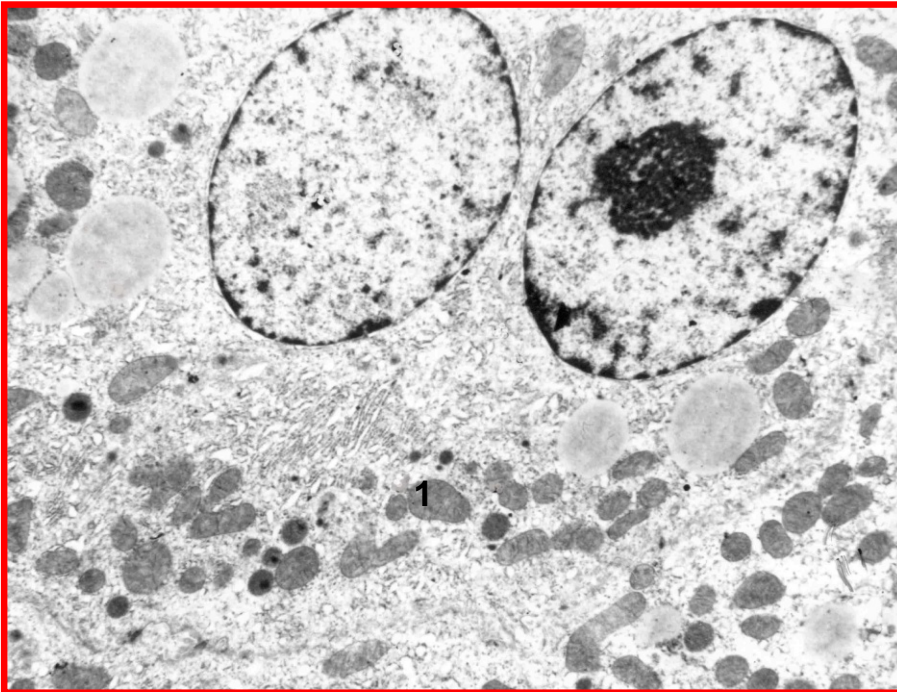


Particolare della zona di contatto tra due epatociti, con lisosomi primari (1) e secondari (2), mitocondri (3) e un canalicolo biliare (4)

Fegato di ratto

Acetato di uranile-citrato di piombo
20.000 X

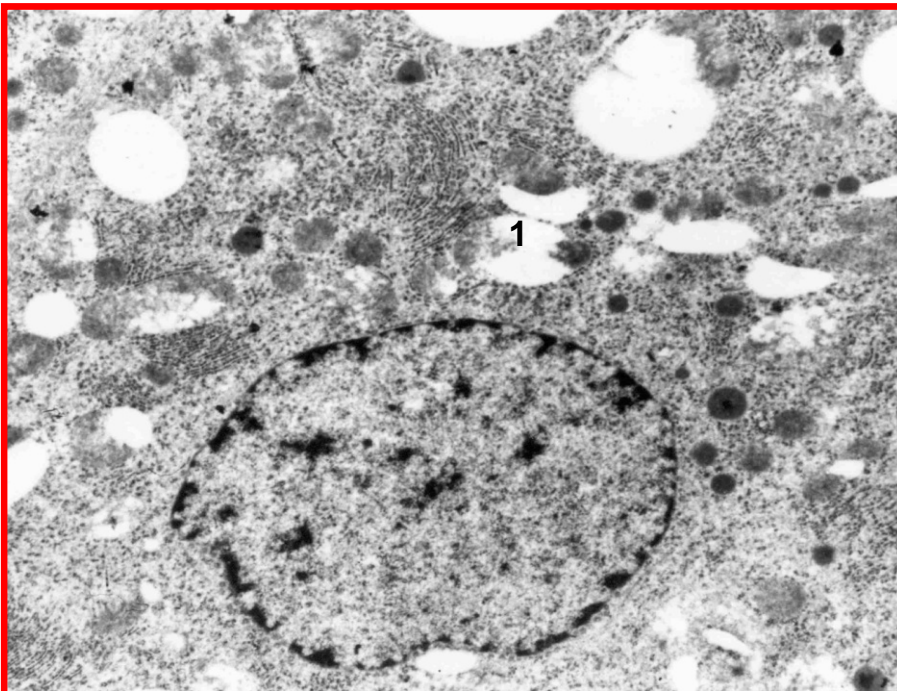




Epatocita binucleato
pericentrale, con
mitocondri (1) a
morfologia normale

Fegato rigenerante di
ratto 24 ore dopo
epatectomia parziale

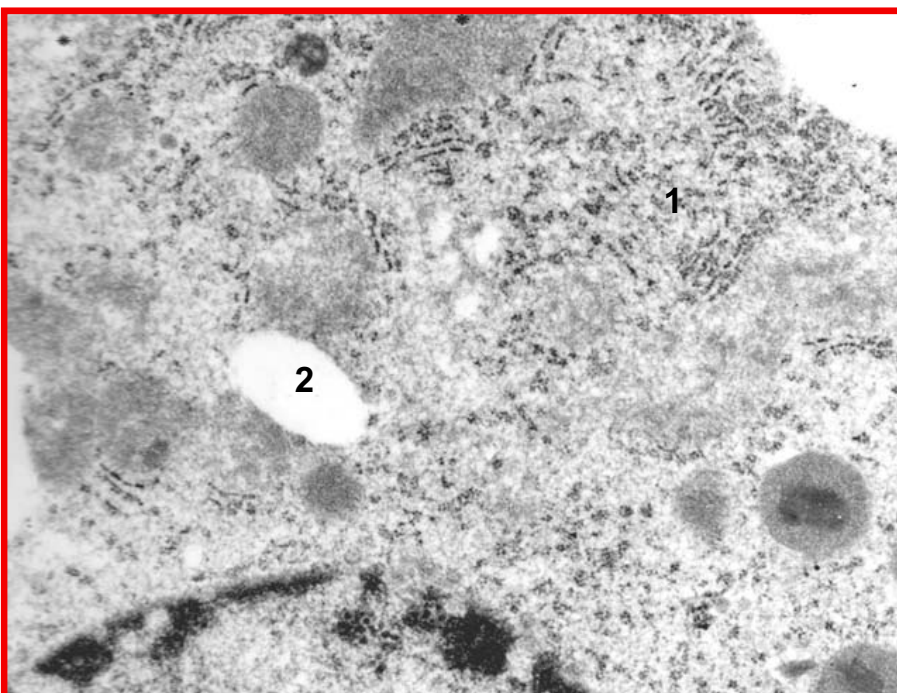
Acetato di uranile-citrato
di piombo
4.000X



Mitocondri alterati
(swelling) (1) in epatocita
periportale

Fegato rigenerante di
ratto 24 ore dopo
epatectomia parziale

Acetato di uranile-citrato
di piombo
4.000X



Particolare di epatocita
periportale con RER
disorganizzato (1) e
vacuoli citoplasmatici (2)

Fegato rigenerante di
ratto 24 ore dopo
epatectomia parziale

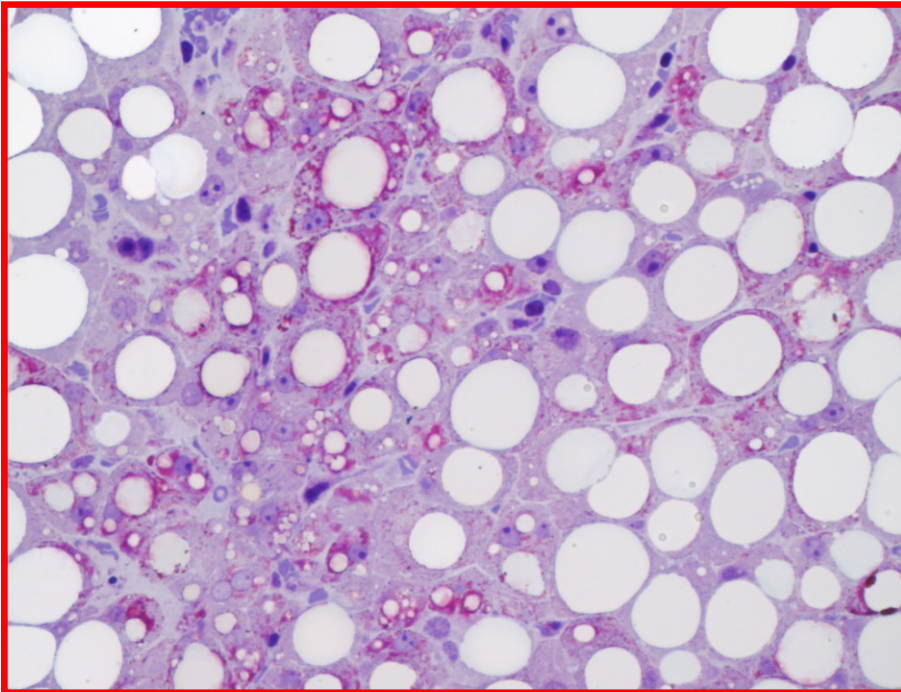
Acetato di uranile-citrato
di piombo
7.000X

Anti-Caveolina 1

Epatociti con steatosi
micro-macrovescicolare

Fegato steatosico di
ratto

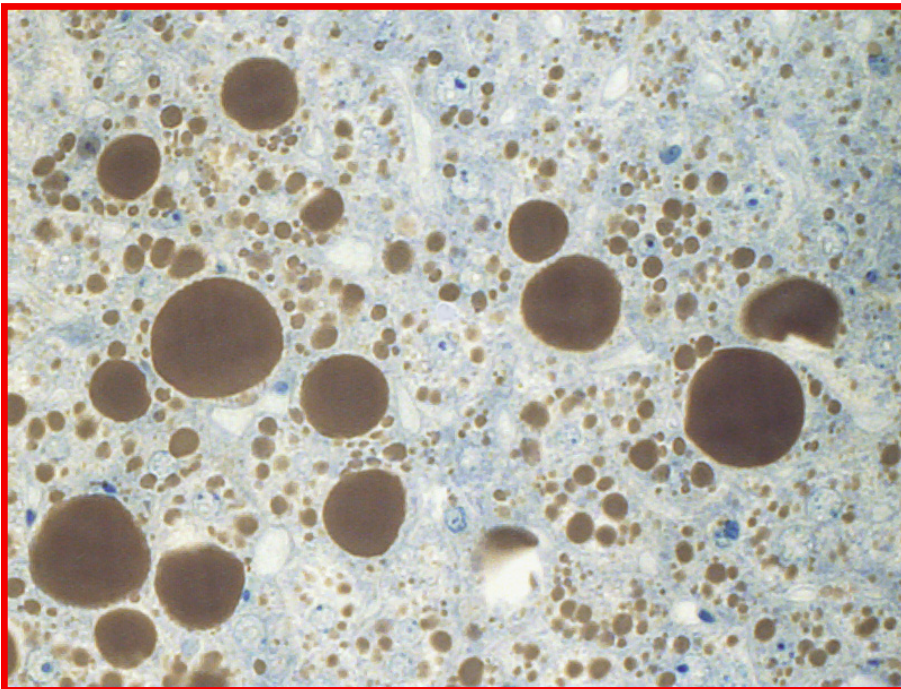
Sezione semifine
PAS-Blu di toluidina
200X



Epatociti con steatosi
micro-macrovescicolare

Fegato steatosico di ratto

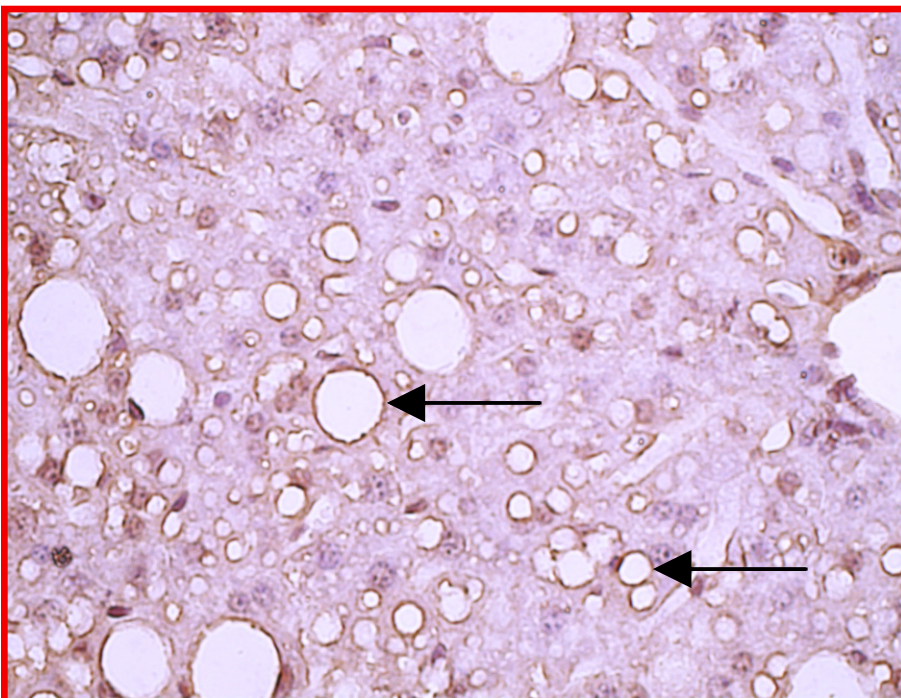
Sezione semifine
Osmio-Blu di toluidina
200X



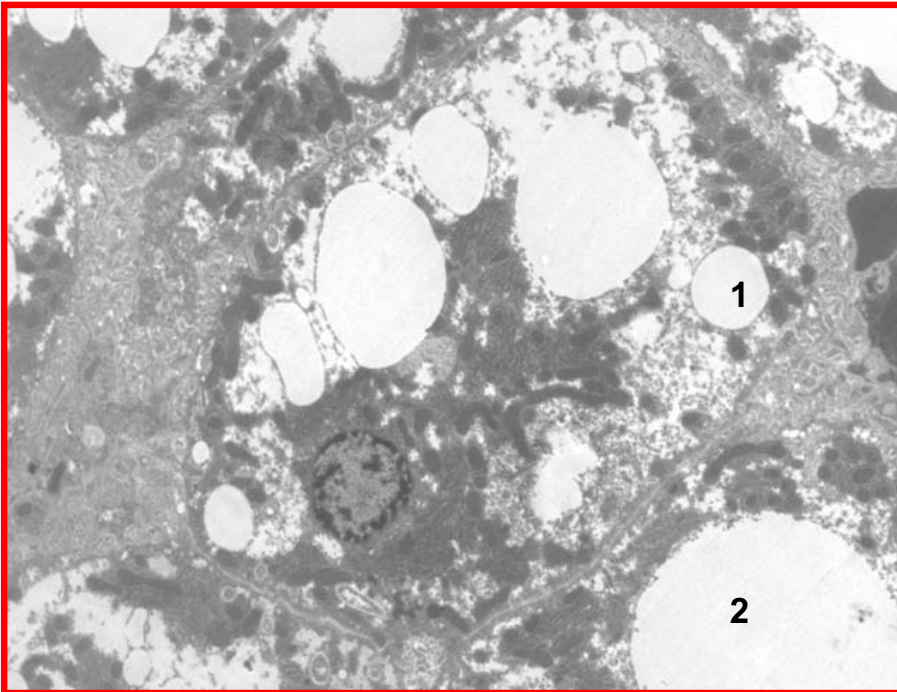
Negli epatociti di fegato
steatosico la
Caveolina 1 si localizza
soprattutto intorno alle
gocce lipidiche (freccie)

Fegato steatosico di
ratto

Anti-Caveolina 1-
metodo PAP-Emallume
200X



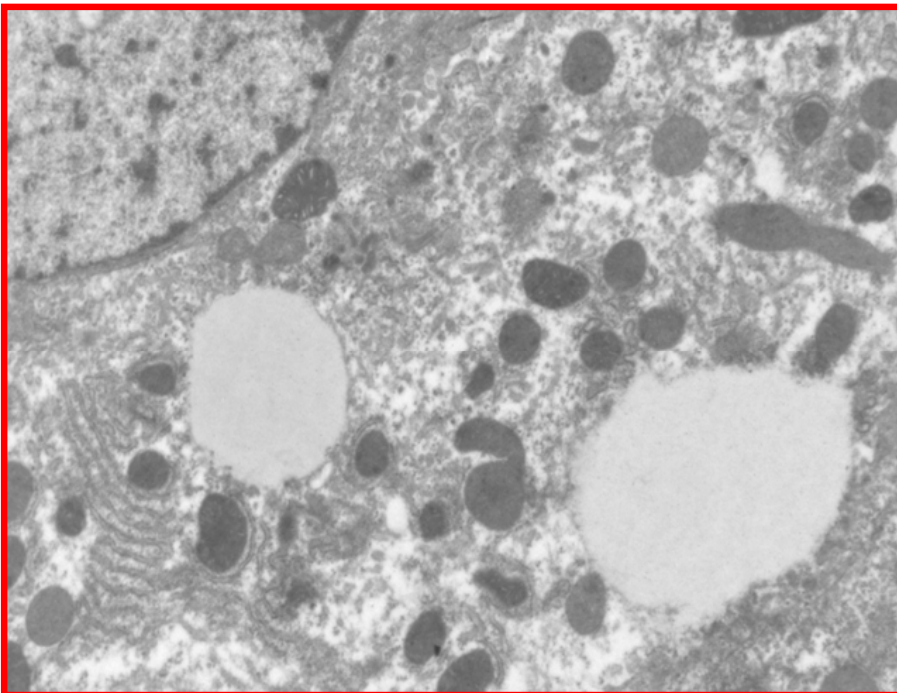
Anti-Caveolina 1



Epatocita con micro (1) e macrovescicole (2) lipidiche

Fegato steatosico di ratto

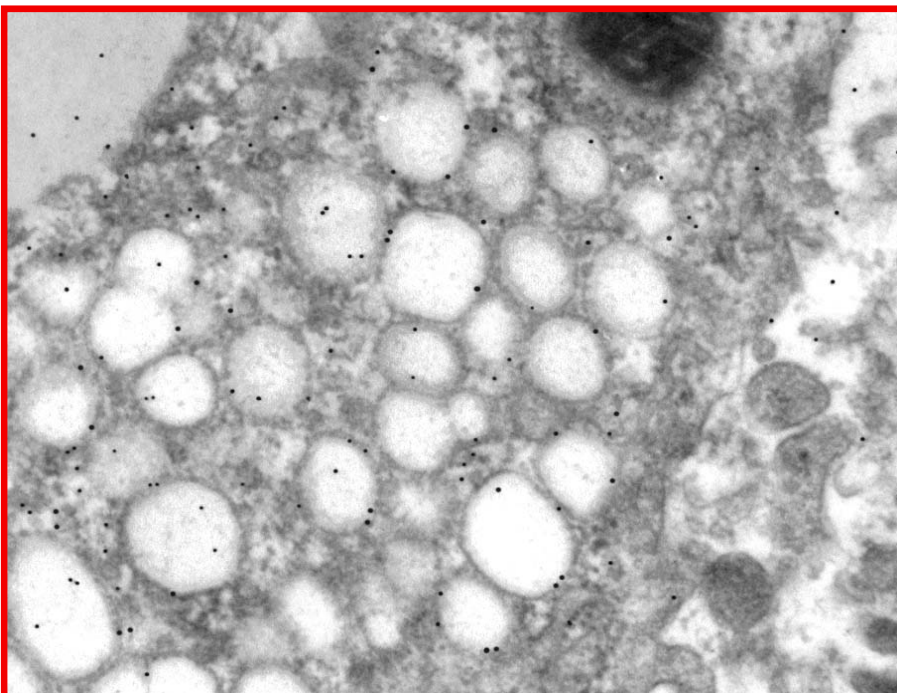
Acetato di uranile-citrato di piombo
3.500X



Particolare di epatocita steatosico

Fegato steatosico di ratto

Acetato di uranile-citrato di piombo
14.000X



Negli epatociti di fegato steatosico la Caveolina 1 si localizza soprattutto intorno alle micro-macrovescicole

Fegato steatosico di ratto

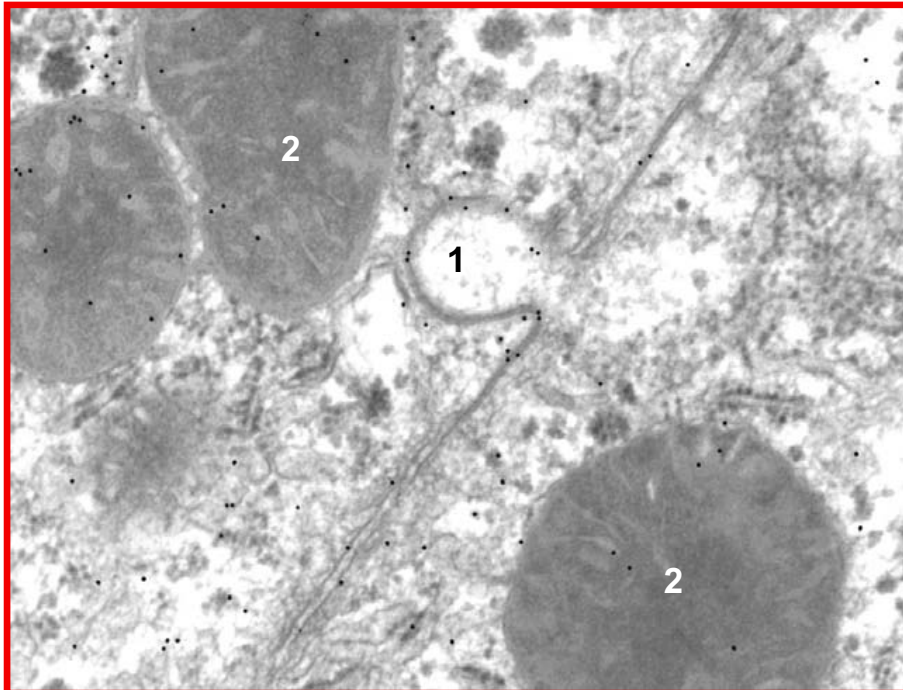
Anti-Caveolina 1-gold
22.000X

Anti-Caveolina 1

Particolare di epatociti.
Immunolocalizzazione
della Caveolina 1 nella
membrana plasmatica,
nelle caveole (1) e nei
mitocondri (2)

Fegato di ratto

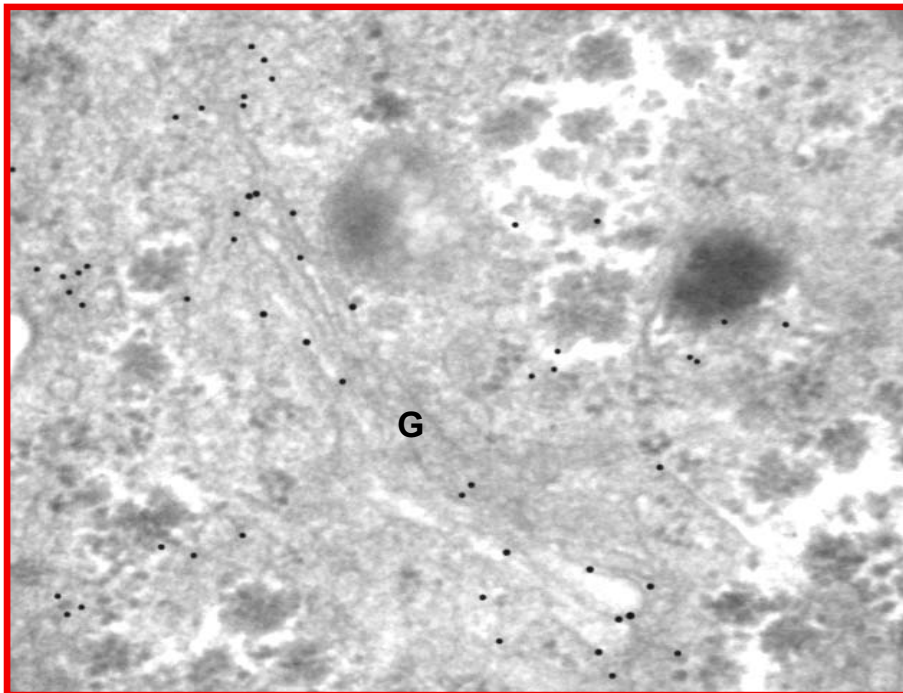
Anti-Caveolina 1-gold
28.000X



Particolare di epatocita.
Immunolocalizzazione
della Caveolina 1 nel
complesso di Golgi (G)

Fegato di ratto

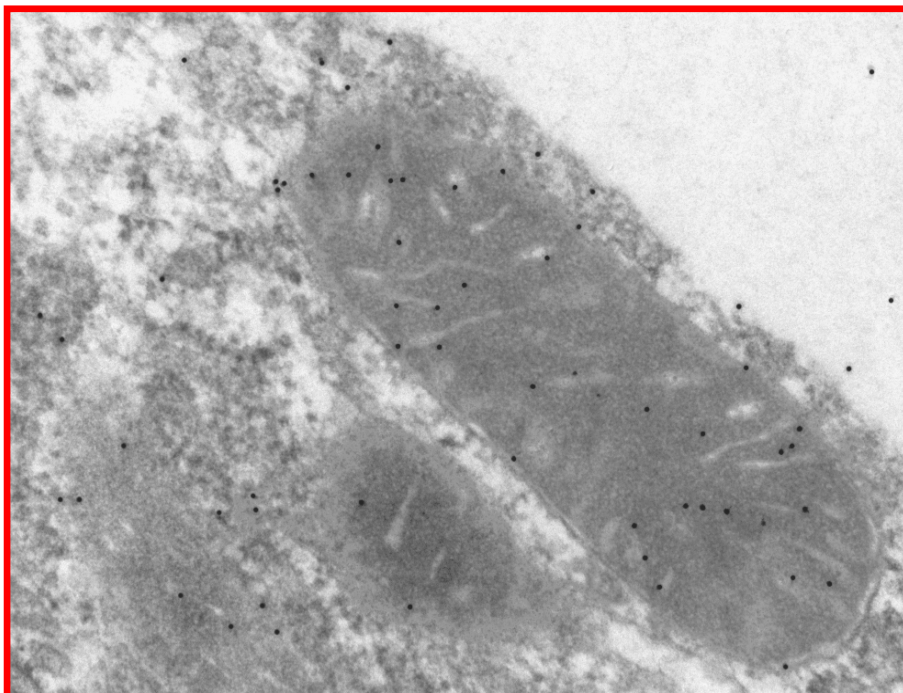
Anti-Caveolina 1-gold
32.000X



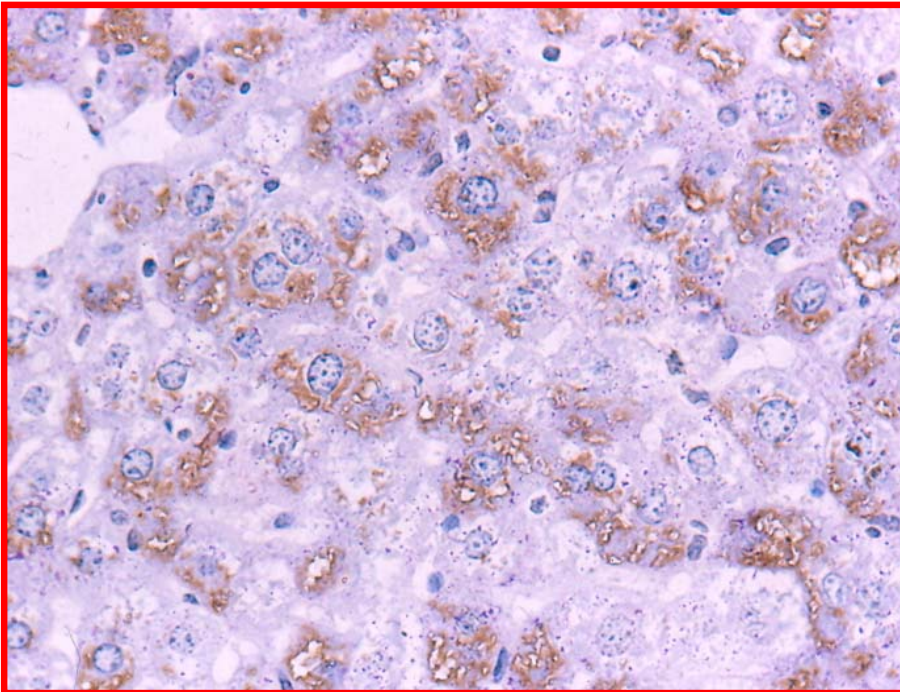
Particolare di epatocita
con evidente marcatura
nei mitocondri

Fegato di ratto

Anti-Caveolina 1-gold
36.000X



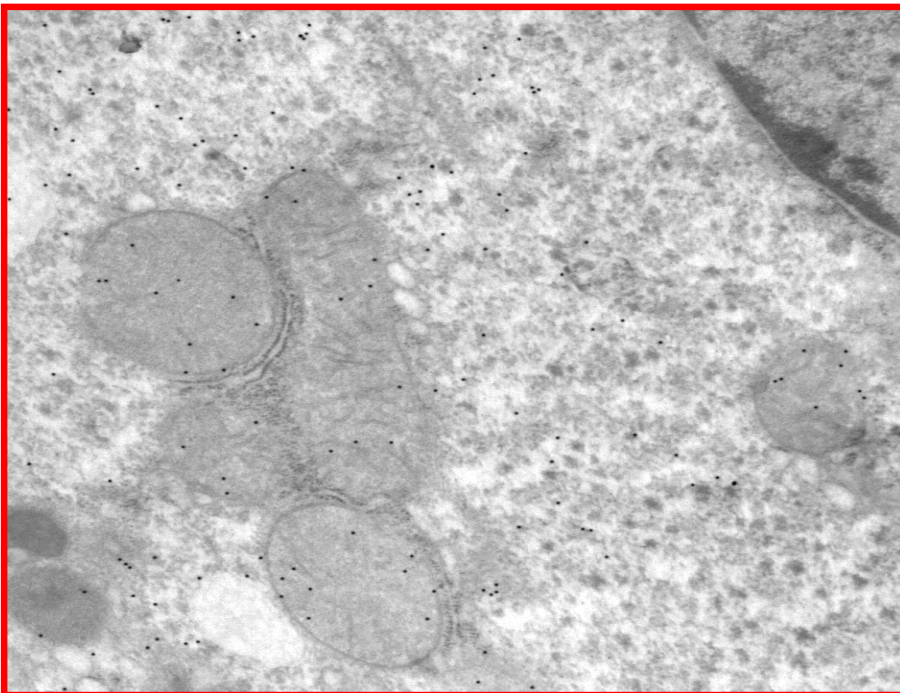
Anti-CaSr



Nel citoplasma degli epatociti si osserva immunoreattività all'anti-CaSr

Fegato di ratto

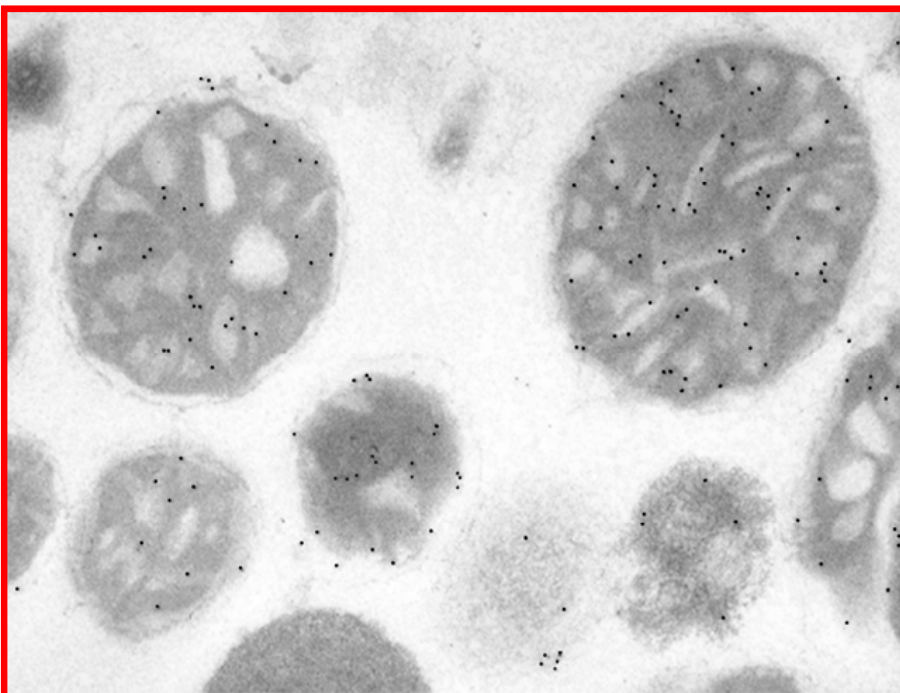
Anti-CaSr-metodo PAP-Emallume
400X



Particolare di citoplasma di epatocita con mitocondri marcati con anti CaSr

Fegato di ratto

Anti-CaSr-gold
22.000X



Evidente marcatura nei mitocondri con anti-CaSr

Pellet mitocondriale di fegato di ratto

Anti-CaSr-gold
36.000X